**УДК 69.001.5** DOI: 10.38054/iaeee-202308

# КАЗАКСТАН РЕСПУБЛИКАСЫНДАГЫ ВИБРОДИНАМИКАЛЫК СЫНОО

Шокбаров Э.М., т.и.к. «КазНИИСА» АК, Алматы, Казакстан Республикасы, eshokbarov@kazniisa.kz

Омаров Ж.А., т.и.к. «КазНИИСА» АК, Алматы, Казакстан Республикасы, zomarov@kazniisa.kz

Шаймерденов Т.А., «КазНИИСА» АК, Алматы, Казакстан Республикасы, timur@kazniisa.kz

**Аннотация:** Макалада Казакстан Республикасынын сейсмикалык аймактарында көп кабаттуу үйлөрдү долбоорлоого заманбап ыкмалар берилген.

Негизги сөздөр: вибродинамикалык машина, ылдамдыктар, жылыштар, бузулуулар

# ВИБРОДИНАМИЧЕСКИЕ ИСПЫТАНИЯ В РЕСПУБЛИКИ КАЗАХСТАН

Шокбаров Е.М., к.т.н. АО «КазНИИСА», г. Алматы, Республика Казахстан, eshokbarov@kazniisa.kz

Омаров Ж.А., к.т.н. АО «КазНИИСА», г. Алматы, Республика Казахстан, zomarov@kazniisa.kz

Шаймерденов Т.А., АО «КазНИИСА», г. Алматы, Республика Казахстан,  $\underline{timur@kazniisa.kz}$ 

**Аннотация:** В статье изложены вибродинамические испытания как натурных зданий, так и экспериментальные исследования различных фасадных систем, строительный материалов и иных изделий.

**Ключевые слова:** Вибродинамиеская машина, ускорения, перемещения, повреждение

#### VIBRODYNAMIC TESTS IN THE REPUBLIC OF KAZAKHSTAN

Shokbarov E.M., Ph.D. KazNIISA JSC, Almaty, Republic of Kazakhstan, eshokbarov@kazniisa.kz

Omarov Zh.A., Ph.D. KazNIISA JSC, Almaty, Republic of Kazakhstan, zomarov@kazniisa.kz

Shaimerdenov T.A., KazNIISA JSC, Almaty, Republic of Kazakhstan, timur@kazniisa.kz

**Annotation**: The article presents vibrodynamic tests of both full-scale buildings and experimental studies of various facade systems, building materials and other products.

**Key words:** vibrodynamic machine, accelerations, displacements, damage

Сейсмические районы Казахстана занимают порядка 43% от общей площади территории республики. Здесь проживают примерно 45% от общей численности населения Казахстана. При этом численность населения, проживающего в 9-балльной зоне составляет более 3,5 млн. человек (в том числе в г. Алматы – 2,2 млн. человек); в 8-балльной зоне – 1,1 млн. человек; в 7-баллной зоне – 2,0 млн. человек и в 6-баллной зоне – 1,2 млн. человек.

Благоприятные природно-климатические условия, наличие ценных сырьевых и энергетических ресурсов в сейсмических районах обусловили сосредоточение в них значительной части производственного и сельскохозяйственного потенциала республики.

В сейсмических районах Казахстана расположено примерно 38% общего жилого фонда, сконцентрировано около 28% производственных фондов промышленности и сельского хозяйства.

Исходя из природы и особенностей сейсмических воздействий, наиболее предпочтительными, являются экспериментальные исследования, при проведении которых реализуется динамический характер нагружения исследуемых объектов.

Для создания динамических нагрузок на исследуемые объекты наиболее часто используются:

- мгновенный сброс статически приложенных к объекту нагрузок;
- сейсмовзрывные воздействия;
- сейсмоплатформы;
- вибрационные машины.

**Основная цель выполненных научно-исследовательских работ** заключалась в изучении специфики поведения многоэтажных жилых зданий различных конструктивных систем при нагрузках типа сейсмических и в проверке корректности расчетных предпосылок, принятых при его проектировании.

На сегодняшний день специалистами АО «КазНИИСА» проведено 17 натурных вибродинамических испытаний построенных в городах Алматы, Шымкент, Капшагай и в Ташкенте









Рисунок 1. Общие виды зданий прошедшие испытания:14 этажный жилой комплекс, 26 этажный жилой комплекс «Мегатауэрс», 30 этажный офисный комплекс «Нурлы-Тау» и 21 этажный жилой комплекс «Столичный центр»

В выполненных экспериментальных исследованиях динамические нагрузки на исследуемые объекты создавались с помощью вибромашины инерционного действия типа В-3. Вибромашины типа В-3 позволяют развивать на валу возмущающую силу величиной до 1500-3000 кН.

Комплект силового оборудования для вибрационных испытаний здания включал в себя:

- -двигатель постоянного тока мощностью 200 кВт;
- -шесть двухвальных вибраторов с горизонтальными осями вращения рычаговдебалансов;
- -доборные грузы-дебалансы, навешиваемые при необходимости на рычаги вибраторов;
- –пульт управления, позволяющий плавно регулировать частоту вращения вала двигателя.

При испытаниях двигатель и вибраторы были жестко закреплены к горизонтальной стальной раме, расположенной в уровне перекрытия над 29 этажом здания. Стальная рама, в свою очередь, была жестко закреплена к этому перекрытию.



Рисунок 2 Общий вид вибромашины В-3

Регистрация инструментальных данных осуществлялись с помощью специального программно-аппаратного комплекса, разработанного по техническому заданию специалистов института КазНИИССА.

Проведении вибрационных включали в себя несколько этапов испытаний, где выполнялись: регистрация колебаний и предварительная обработка данных, визуальное обследование конструкций, а также фото- и видеосъемки объекта.

По итогам испытаний определялись следующие решения:

- пространственные формы колебаний здания;
- деформации междуэтажных перекрытий, обусловленные их податливостью;
- горизонтальные и вертикальные деформации основания здания;
- перекосы этажей.
- анализ инструментальных данных, полученных при вибрационных испытаниях экспериментального объекта;
- выводы.

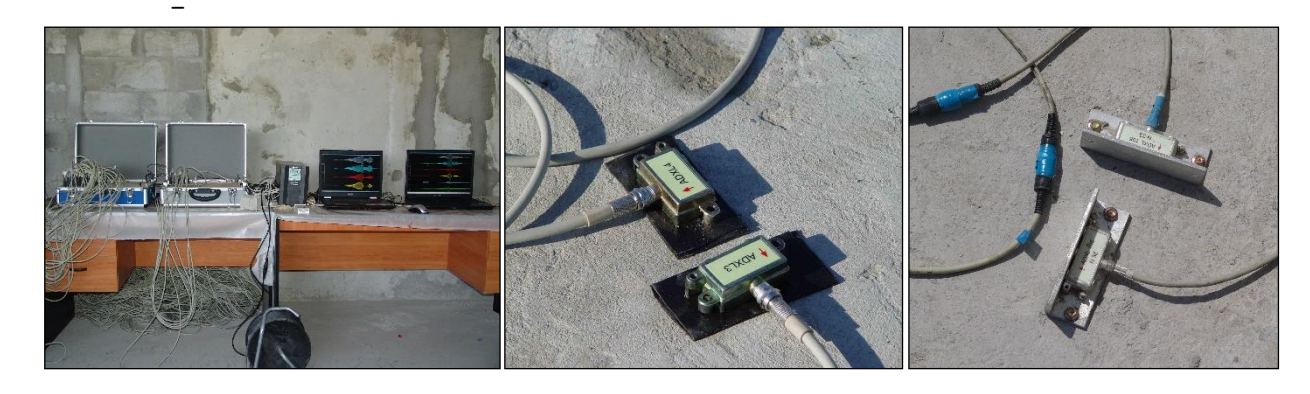


Рисунок 3 Общий вид программно-аппаратного комплекса и датчиков- акселерометров

# Нурлы Тау 35 этажный жилой дом

Общее количество этапов составило семь. Максимальный период колебаний на 6 этапе составил 1,48 сек. Максимальные ускорения, полученные на покрытии, составили 0,34g. Максимальные перемещения составили по 2-й форме 13,2 мм.

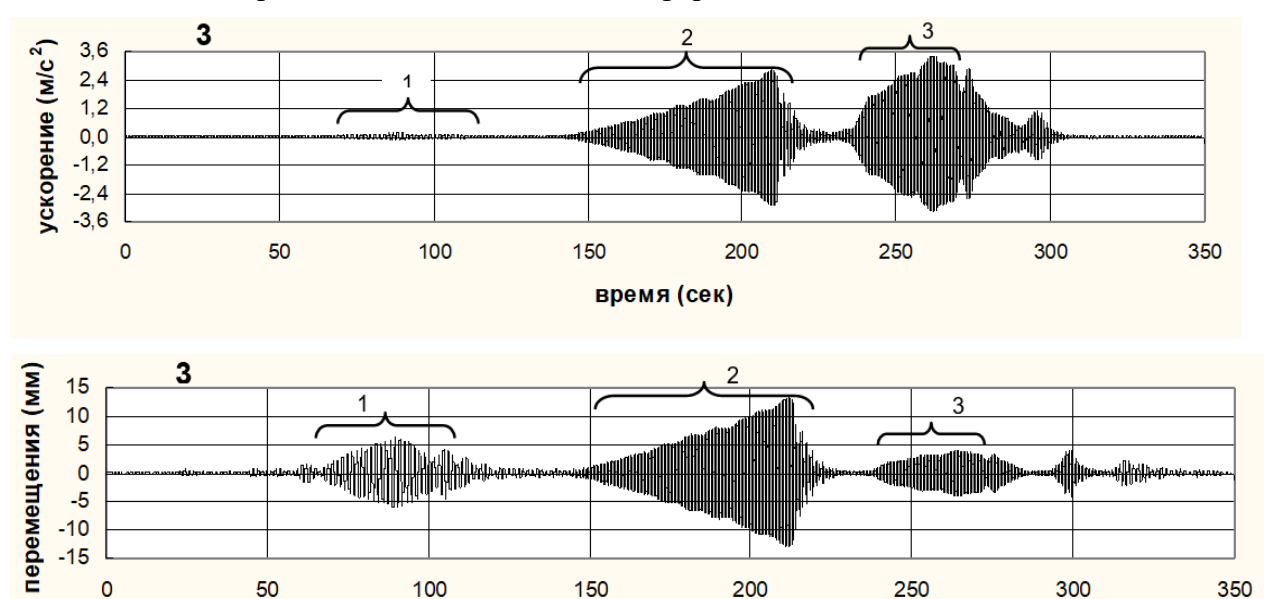


Рисунок 4 Графики перемещений и ускорений

В несущих конструкциях экспериментального объекта, после все этапов вибрационных воздействий, какие-либо повреждения отсутствовали.

В некоторых ненесущих конструкциях (перегородках) и в местах их примыкания к смежным конструкциям визуально отмечено образование трещин с незначительным раскрытием см. таблицу 1

Номер формы колебаний здания	Значения ускорений (в долях g) центра покрытия здания, соответствующие его формам собственных колебаний	
	расчетные значения	экспериментальные
		значения
1	0,281	0,016
2	0,394	0,199
3	0,264	0,240

Из таблицы 1 следует, что максимальные горизонтальные инерционные силы, действовавшие на экспериментальный объект при испытаниях (с учетом того факта, что в период испытаний часть нагрузок, действующих на объект в процессе эксплуатации, отсутствовала):

- -при колебаниях объекта по первой форме составляли примерно 80% от расчетных сейсмических нагрузок интенсивностью 5 баллов;
- -при колебаниях объекта по второй форме составляли примерно 90% от расчетных сейсмических нагрузок интенсивностью 8 баллов;
- -при колебаниях объекта по третьей форме составляли примерно 80% от расчетных сейсмических нагрузок интенсивностью 9 баллов.

#### Mega Towers Almaty 26 этажный жилой дом

Общее количество этапов составило десять. Максимальный период колебаний на 9 этапе составил 1,18 сек. Максимальные ускорения, полученные на покрытии, составили 0,46g. Максимальные перемещения составили по 1-й форме 15,7 мм.

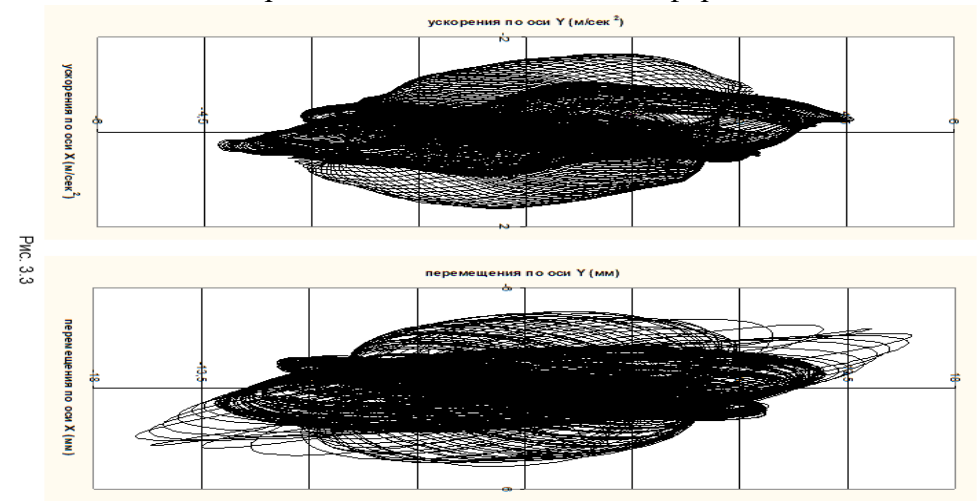


Рисунок 5 Траекторий движения междуэтажного перекрытия здания над техническим этажом на этапе испытаний IV-3

В несущих конструкциях экспериментального объекта, после всех этапов вибрационных воздействий, какие-либо значимые повреждения отсутствовали. Лишь в отдельных стенах было отмечено образование волосяных трещин небольшой протяженности, развивающихся из углов дверных проемов, осыпание штукатурки в местах примыкания колонн и стен к перекрытиям и незначительное раскрытие в стенах существовавших трещин технологического характера.

Сопоставление количественных характеристик расчетных сейсмических нагрузок на запроектированное здание и динамических нагрузок, действовавших на объект в процессе испытаний см. Таблицу 2.

Номер формы колебаний здания	Значения ускорений (в долях g) центра покрытия здания, соответствующие его формам собственных колебаний	
	расчетные значения	экспериментальные
		значения
1	0,343	0,046
2	0,433	0,440

Из таблицы 2 следует, что максимальные горизонтальные инерционные силы, действовавшие на экспериментальный объект при испытаниях (с учетом того факта, что в период испытаний часть нагрузок, действующих на объект в процессе эксплуатации, отсутствовала):

- -при колебаниях объекта по первой форме соответствовали расчетным сейсмическим нагрузкам интенсивностью 6 баллов;
- -при колебаниях объекта по второй форме были близки к расчетным сейсмическим нагрузкам, соответствующим сейсмичности 9 баллов.

Длительность колебаний здания при каждом этапе вибрационных испытаний составляла 400-500 сек, что в 5...6 раз превышает длительность колебаний зданий при реальном сильном землетрясении.

Общее количество циклов колебаний здания только на последних трех этапах испытаний (наиболее интенсивных) превысило две тысячи.

### Стендовые вибродинамические испытания

Также на экспериментальной базе АО «КазНИИСА», в период с 2005 по 2022 года, на экспериментальном стенде, было выполнено более 60 экспериментальных вибродинамических испытаний:

- фрагментов ненесущих ограждающих стеновых конструкций и перегородок;
- фасадных систем «Алюгал» с фасадными элементами «Алюкотте», «Натуральный камень», «Керамическая натуральная плитка»;
  - навесных фасадных систем «СИАЛ» с каменными и керамическими плитами;
  - ограждающих конструкций сэндвич-блоков фасадных «VIMA-SBF»;
  - витражные системы «Алюгал»;
- несущих конструкций из местных материалов (саман), газобетоных блоков, финблоки;
  - навесные фасады из хризотилцементных листов;
  - фиброцементные панели японской компании KMEW и многое другое.



Рисунок 2 Общие виды экспериментальных фасадных систем, перегородок, витрин и т.д.

Все экспериментальные исследования, были выполнены на специальном экспериментальном стенде, представляющем собой ячейку двухэтажного стального каркаса.

Экспериментальный стенд, был построен в 2004 году и представляет собой каркасное сооружение, размерами в плане 6,0×6,0 метра, высотой 6,6 метра и включает:

- 4 угловые колонны (K-1) коробчатого сечения  $(2\Gamma H[280\times140\times8);$
- ригели покрытия и нижнего яруса, двутаврового сечения P1 (полка  $2-120\times8$ , стенка  $300\times5$ );
- ригели промежуточного яруса, двугаврового сечения P2 (полка 2-120×12, стенка 340×8);
- промежуточные стойки, двутаврового сечения СП (полка  $2-120\times10$ , стенка  $200\times5$ ), расположенные по внешнему контуру фрагмента.

Конструктивные элементы опытного фрагмента изготовлены из стали марки С345.

Перекрытия – монолитные железобетонные плиты толщиной 150 мм, объединенные арматурными выпусками с ригелями каркаса. В уровне покрытия, на отм. 6,6 метра, толщина плиты составляла 200 мм.



Рисунок 3 Вибромашина тип В-2 В выполненных экспериментальных исследованиях динамические нагрузки на исследуемые объекты создавались с

помощью вибромашины инерционного действия типа B-2. В комплект вибромашины B-2 входило:

- четыре двухвальных виброблока с горизонтальными осями вращения рычагов;
- двигатель постоянного тока мошностью 110 кВт;
- доборные грузы-дебалансы, навешиваемые на рычаги вибраторов;
- пульт управления, позволяющий плавно регулировать частоту вращения вала двигателя

Двигатель и виброблоки были жестко закреплены к горизонтальной стальной раме, расположенной в уровне покрытия. Стальная рама, в свою очередь, была жестко закреплена к перекрытию.

При испытаниях объектов изучались особенности работы ненесущих стеновых конструкций при нагрузках, действующих из плоскости и в плоскости.

Испытания каждой группы объектов состояли из нескольких основных этапов. Каждый этап испытаний заключался в регулируемом прохождении через резонансы стенда или экспериментальных объектов.

Принятая методика вибродинамических испытаний позволяла:

- возбуждать колебания стенда в широком диапазоне частот и амплитуд;
- обеспечивать длительность колебаний, достаточную для оценки влияния малоцикловой усталости на состояние исследуемых конструкций;
- оценивать состояние ненесущих стеновых конструкций при разных амплитудах колебаний стенда.

В процессе испытаний двухэтажный стальной каркас с исследуемыми фасадными системами, перегородками и другими экспериментальными объектами неоднократно подвергался динамическим нагрузкам высокой интенсивности. Нагрузки, действовавшие на этапах испытаний, соответствовали нагрузкам, прогнозируемым при реальных землетрясениях интенсивностью 9 и более баллов.

Так, например, результаты ускорений, перемещений и перекосы этажей фасадной система СНК-СК-004 с плитами из натурального камня составляли:

— максимальные ускорения в плоскостях фрагмента навесного фасада (с каменными плитами) превышали соответствующие ускорения смежных конструкций стенда до 2-3 раз и достигали в уровне покрытия стенда  $48,2\,\mathrm{m/c^2}$ , а в уровне перекрытия над первым этажом —  $49.2\,\mathrm{m/c^2}$ .

По результатам испытаний, были получены максимальные горизонтальные перекосы этажей стенда, имевшие место при вибродинамических испытаниях:

- превышали предельно допускаемые нормами расчетные перекосы этажей сейсмостойких зданий в 2,0...3,0 раза;
- были близки к предельно допускаемым перекосам этажей сейсмостойких зданий при реальных сейсмических воздействиях.

После каждого этапа испытаний выполнялось визуальное обследование всех объектов, велась фото и видео фиксация. Фиксировались все повреждения, если таковы имели место.

На основании полученных данных, выполнялся отчет о возможности применения объектов испытаний в сейсмических районах Республики Казахстан.

В данных отчетах учитывались все достоинства и недостатки испытуемых объектов, полученные в результате испытаний с выводами и рекомендациями.







Рисунок 4 Общие виды повреждений фасадных систем

#### Заключение

Подобные эксперименты позволяют получить достаточно объективную информацию об эффективности принятых конструктивных решений зданий или их отдельных элементов, не проходивших ранее проверку в условиях реальных землетрясений, а также о достоверности расчетных моделей, применяемых для обоснования сейсмостойкости конструктивных систем

## Список использованной литературы

- 1. Вибрационные испытания зданий под редакцией д.т.н. Г.А. Шапира.
- 2. Научно-исследовательских работ по темам: «Последствия землетрясений в Армении 07.12.1988 г. и Турции 18.08.1999 г.».
- 3. «Вибрационные испытания жилого здания с безригельным каркасом и диафрагмами жесткости» (Алматы, КазНИИССА, 2002 г.).
- 4. «Вибрационные испытания 35-этажного жилого здания каркасно-стеновой конструктивной системы» (Алматы, КазНИИССА, 2005 г.).
- 5. «Вибрационные испытания 7-этажного каркасного здания с диафрагмами жесткости» (Алматы, КазНИИССА, 2005 г.).
- 6. «Вибродинамические испытания 25-этажного жилого здания каркасно-стеновой конструктивной системы» (Алматы, КазНИИССА, 2007 г.)
- 7. Кулбаев Б.Б., Шокбаров Е.М., Омаров Ж.А., Шаймерденов Т.А., Лопухов С.А. Вибродинамические испытания одной секции 3-х секционного 9-ти этажного крупнопанельного жилого дома для муниципального строительства в городе

Ташкент. – Вестник Международной Ассоциации экспертов по сейсмостойкому строительству. – Б.: МАЭСС, 2022. – № 2 (14). – С. 37-47.

- 8. Абдыкалыков А.А., Абдыбалиев М.К., Бегалиев У.Т. Подходы к определению сейсмической опасности строительной площадки и несущей способности конструкций зданий в Кыргызской Республике. Вестник Международной Ассоциации экспертов по сейсмостойкому строительству. Б.: МАЭСС, 2022. № 2 (14). С. 5-13.
- 9. Немчинов Ю.И., Фаренюк Г.Г. Государственные нормы ДБН В.1.1-12:2014 «Строительство в сейсмических районах Украины» и опыт высотного строительства с учётом рекомендаций европейского кода (Еврокод 8). Вестник Международной Ассоциации экспертов по сейсмостойкому строительству. Б.: МАЭСС, 2020. № 1 (9). С.29-31.
- 10. Тяпин А.Г., Антонов Н.А. Влияние податливости фундаментной плиты на сейсмическую реакцию сооружений. Часть І: Сооружение типа "матрешки".

Вестник Международной Ассоциации экспертов по сейсмостойкому строительству. – Б.: МАЭСС, 2020. - N 1 (9). - C.32-46.

11. Тяпин А.Г., Антонов Н.А. «Скрытый» параметр программы SASSI и его влияние на сейсмическую реакцию сооружений. — Вестник Международной Ассоциации экспертов по сейсмостойкому строительству. — Б.: МАЭСС, 2020. — № 1 (9). — С.46-54.